

FEAST

(Finite Element Analysis & Solution Tools)

M. Altieri, Ch. Becker, S. Kilian, A. Runge, S. Turek

Institut für Angewandte Mathematik,
Universität Heidelberg

email: {featflow}@gaia.iwr.uni-heidelberg.de

WWW: <http://www.iwr.uni-heidelberg.de/featflow>

Verbesserungsansätze für die numerische Lösung von partiellen DGL

- Verbesserung und Kontrolle der **Diskretisierung** \implies weniger Unbekannte
- Effiziente und robuste **Lösungsverfahren** \implies verbesserte Konvergenzraten
- Problem- und Hardware-angepaßte **Implementierung**

Mathematik vs Software Engineering ???

- Alle Komponenten sind gleichbedeutend!
- Alle Komponenten müssen aufeinander abgestimmt sein!
- Alle Komponenten haben theoretische und praktische Aspekte!

Beobachtung

- **Peak Performance** steigt mit jeder neuen Prozessorgeneration
- in 10 Jahren ein einzelner PC schneller als komplette CrayT3E heute

1997 National Technology Roadmap for Semiconductors							
Year of 1st shipment	1997	1999	2001	2003	2006	2009	2012
Local clock (Mhz)	750	1250	1500	2100	3500	6000	10K
Chip size (mm ²)	300	340	385	430	520	620	750
Feature size (nm)	250	180	150	130	100	70	50
Transistors/chip	11M	21M	40M	76M	200M	520M	1.4B

- Speichergröße steigt ebenso, aber **nicht** Zugriffszeit

⇒ Kluft zwischen CPU-Zeit und Speicherzugriff wird größer!

Fragen:

- Welche Rechenleistung erzielen heutige Codes?
- Sind spezielle Strategien notwendig, um “High Performance“ zu erreichen?

Performance Tests I

MFLOP-Raten der Matrix/Vektor-Multiplikation ($\frac{20N}{T}$) in FEAT-FLOW mit verschiedenen Knotennumerierungen (BMBF-Projekt “Flow around a car“):

Computer	N	TwoLevel	Koord.	CM	stoch.
	3484	25	22	22	21
SUN U450	13688	20	23	22	19
(250 Mhz)	54256	15	17	17	13
	216032	14	16	16	6
	862144	15	15	16	4

Resultate:

- identische Konvergenzraten (Jacobi-Glätter)
- identischer Berechnungsaufwand (gleiche Anzahl an arith.Op.)
- aber sehr **unterschiedliche** Laufzeiten
- weit von “Peak Performance“ entfernt
- problemgrößenabhängig

Performance Tests II

In Mehrgitter/Krylov-Verfahren Matrix/Vektor-Operationen besonders CPU-intensiv

Test verschiedener Matrix/Vektor-Multiplikationstechniken:

- **sparse (FEAT)**: Nichtnull-Einträge werden mit Position gespeichert, reguläre Verfeinerung (TL)
- **sparse (Adaptiv)**: wie oben aber mit “stochastischer“ Nummerierung (ST)
- **blocked band (FD-V)**.: Speicherung als Diagonale, blockweise Anwendung (“BLAS 2+“)
- **blocked band (FD-A)**.: wie oben, aber mit konstanten Diagonalen

Test verschiedener Glätter (**TRIDI,GS, JAC**)

Test eines kompletten Mehrgitter-Zyklus (**MG**) (geschätzt)

Performance Tests II (Fort.)

MFLOP-Raten verschiedener Operationen in Abhängigkeit von der Problemgröße:

Computer	N	DAXPY	MV-V	MV-A	TRI-V	TRI-A
IBM RS6000 (166 Mhz) 'SP2'	4K	308	166	475	169	323
	16K	97	167	326	142	230
	512K	96	166	364	141	241
	1M	97	158	353	138	237
DEC Alpha (433 Mhz) 'CRAY T3E'	4K	295	104	384	87	248
	16K	56	98	295	73	159
	512K	51	63	275	51	150
	1M	52	50	256	44	136
SUN U450 (250 Mhz)	4K	128	211	435	146	130
	16K	132	64	419	61	129
	512K	29	41	172	37	71
	1M	29	38	149	35	68
INTEL PII (266 Mhz) 'Home PC'	4K	48	59	112	51	70
	16K	27	36	93	32	60
	512K	18	33	69	26	43
	1M	17	33	67	26	42

Performance Tests II (Fort.)

Geschätzte MFLOP-Raten eines kompletten MG-Zyklus über alle Problemgrößen:

Computer	Sch	MGTRIGS	MGTRI	MV	DAXPY	Total
IBM RS6000 (166 Mhz) 'SP2'	Adaptiv					17.15
	FEAT					54.07
	FD-V	141.75	142.99	159.81	98.91	141.99
	FD-A	229.4	221.94	353.15	98.91	234.29
	Index					141.02
DEC Alpha (433 Mhz) 'CRAY T3E'	Adaptiv					10.52
	FEAT					27.66
	FD-V	57.57	59.37	58.82	54.53	58.8
	FD-A	133.69	140.8	264.71	54.53	147.14
	Index					69.39
SUN U450 (250 Mhz)	Adaptiv					13.48
	FEAT					17.38
	FD-V	39.89	46.52	43.64	38	42.46
	FD-A	89.69	86.88	177.52	38	98.49
	Index					48.45
INTEL PII (266 Mhz) 'Home PC'	Adaptiv					11.4
	FEAT					13.41
	FD-V	25.82	28	32.34	17.81	27.03
	FD-A	43.86	43.05	68.93	17.81	45.22
	Index					27.84

Performance Tests III

Divisionsfreie Num. LA

MFLOP-Raten für Jacobi-Vorkonditionierer:

Computer	N	klassisch	Hilfsvektor	Skalierung
IBM RS6000	4K	31	244	420
(166 Mhz)	64K	31	73	103
'SP2'	1M	31	72	105

- Dividieren vs. Caching-in und Pipelining
- große Beschleunigung 'leicht' erreichbar

Computer	N	klassisch	geblockt	'1 Block'
IBM RS6000	4K	33	32	33
(166 Mhz)	64K	32	32	33
'SP2'	1M	32	32	33

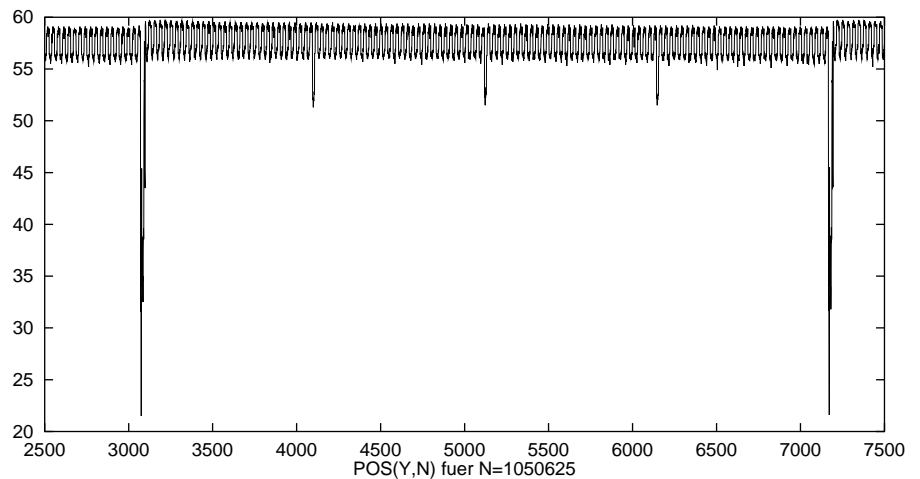
MFLOP-Raten für Tridiagonal-Vorkonditionierer **mit Division**

Computer	N	klassisch	geblockt	'1 Block'
IBM RS6000	4K	144	130	141
(166 Mhz)	64K	80	105	150
'SP2'	1M	80	106	150

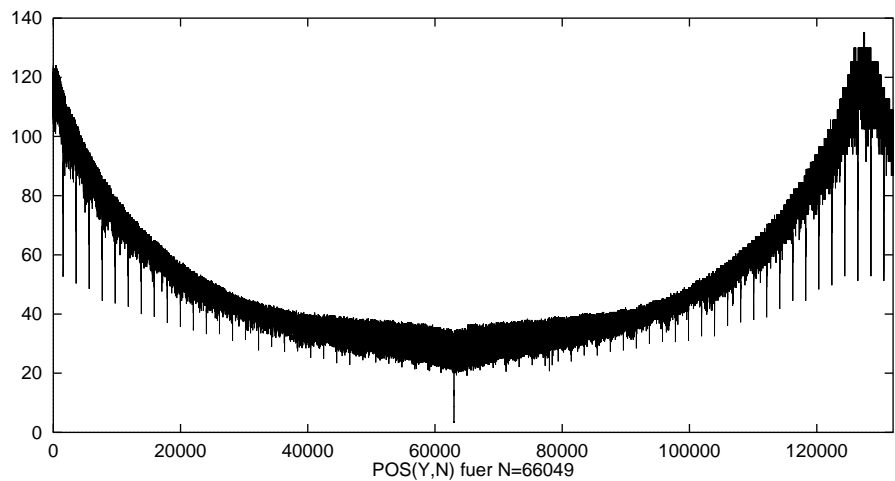
MFLOP-Raten für Tridiagonal-Vorkonditionierer **ohne Division**

Performance Tests IV

Cache-Test für Vektor/Vektor-Addition (Variation des Speicherabstandes):



Cray T3E (20MF/s):



Sun U450 (3MF/s):

- Effizienz in hohem Maße abhängig von Speicherposition
- kleine “Fenster“ mit höherer Rechenleistung
- Kontrolle der Speicherposition?

Folgerungen

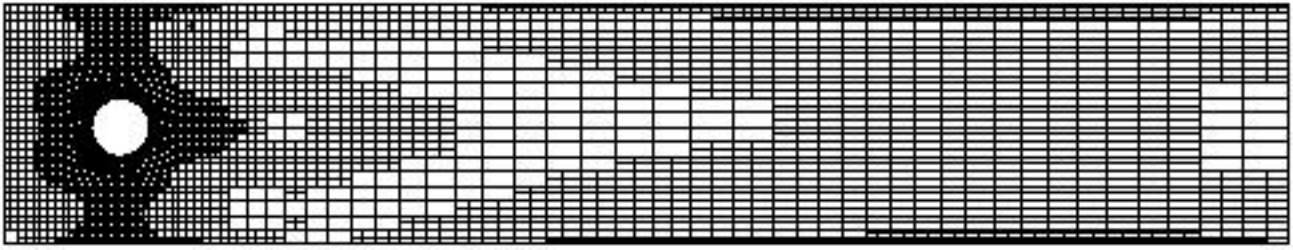
- Iterative Verfahren mit klassischer Implementierung oft sehr weit entfernt von “Peak Performance“
- Standard Sparse–MV–Operationen können nicht mit hoher Rechenleistung durchgeführt werden
- Unterschied zwischen PC und “number cruncher“ nicht so groß für gebräuchliche Software
- Prozessorfortschritt nicht so einfach nutzbar
- “banded block“ FD–Techniken oft überlegen (m.B.a. Effizienz und Problemgröße), aber wie einsetzbar in FEM Codes?



moderne Numerik muß aktuelle Rechnerentwicklungen explizit berücksichtigen \implies **FEAST**

Hierarchisches “Divide and Conquer“

Optimales Gitter für den Drag-Koeffizienten via a posteriori Fehlerschätzung:

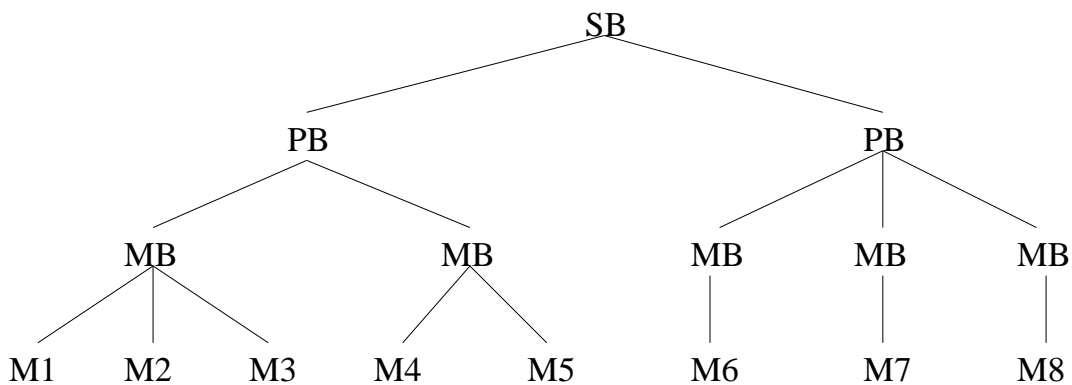
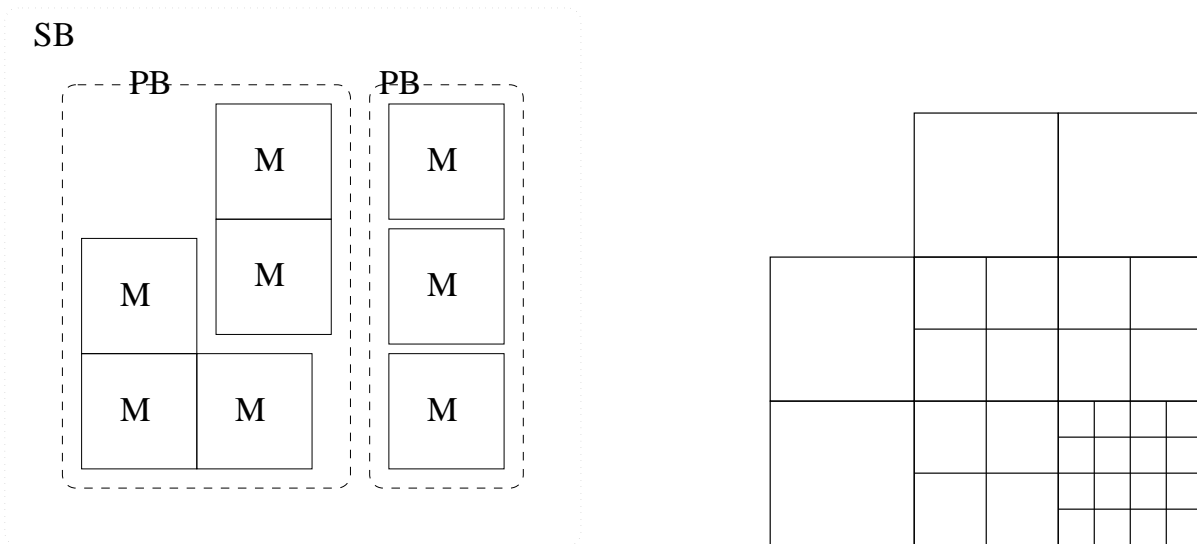


(ROLAND BECKER, INST.F.ANG.MATH., UNIVERSITÄT HEIDELBERG)

- adaptive Techniken nur lokal in Randnähe
- reguläre Strukturen (90 %) im Innern
- typisches Beispiel für CFD

- rekursive **Divide and Conquer** Strategie
- “Finde lokal strukturierte Teilgebiete“ (Rechenleistung)
- “Finde lokale Anisotropien“ (lokal “verstecken“, Robustheit)

Hierarchische Strukturen



Strukturen: “atomic units“, Matrixblocks, Parallelblocks, Gebiet

- reguläre Strukturen
- High Performance Linear Algebra möglich
- parallele Ausführung möglich

Frage: Passender Löser?

Löserstruktur

Methode: ScaRC (Scalable Recursive Clustering)

- generalisiertes Mehrgitter-/ Domain-Decomposition-Verfahren
- **rekursive** Kombination von **globaler** Defektkorrektur mit **lokalen** iterativen Verfahren/direkten Lösern
- Informationsaustausch über “globales“ Mehrgitter
- Matrix-Vektor-Anwendung nur **lokal** auf “Matrixblocks“
- adaptiver Gebrauch verschiedener Glätter in Abhängigkeit von der “Härte“ des Teilgebiets (Grad der Anisotropie)
- automatisches Expertensystem für Auswahl der lokalen Löser
- verschiedene Konzepte für Adaptivität (Makros)

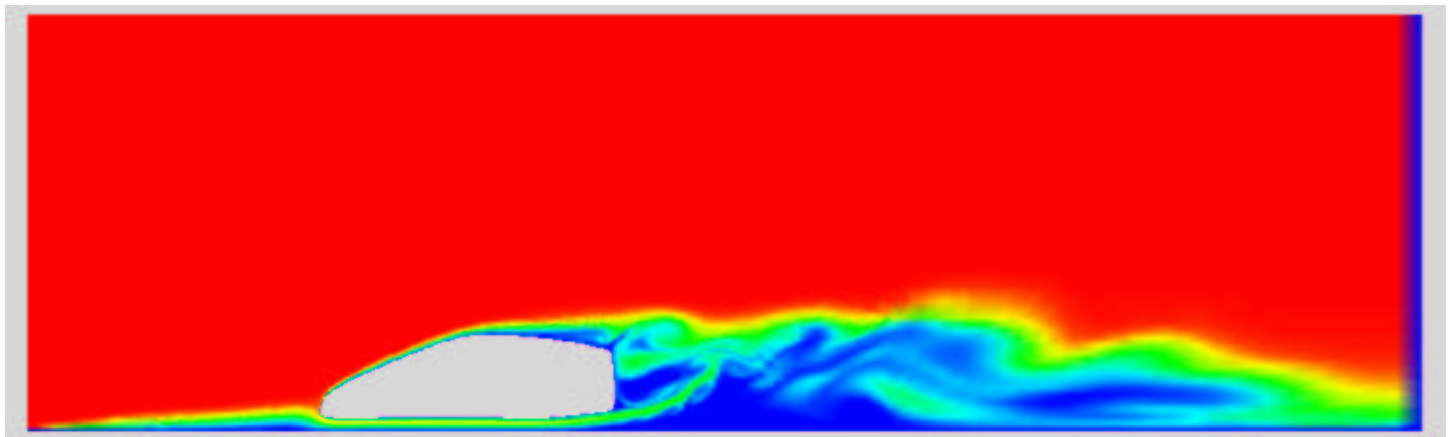
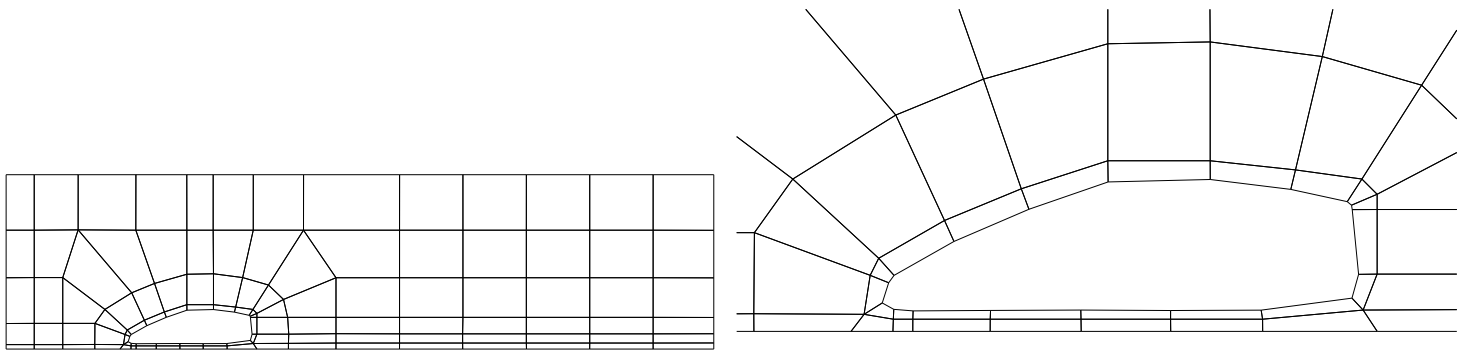
Löserstruktur (Fort.)

Resultate:

- gute Konvergenzraten
 - “unabhängig“ von Gittergröße und Anzahl der Teilgebiete
 - kein Überlapp (Implementierung !!!)
- Anwendung unserer neuen “block banded“-Techniken
 - ⇒ “High Performance“ möglich
- robuste Behandlung von Anisotropien und komplexen Details
- “automatische“ (Blackbox) Parallelisierung
- Loadbalancing?

Numerisches Beispiel für ‘two-level SCARC’

BMBF-Projekt: Ein schneller Navier–Stokes Löser für die Fahrzeug–Aerodynamik (Daimler-Benz AG)



Paralleles SCARC für ‘Pressure–Poisson Problem’

	N_l	$ScaRC_{glo}$	
$h_n = 5 \cdot 10^{-4}$	8	6	0.093
	16	6	0.096
	32	7	0.116
$AR \sim 10$	8	6	0.092
	16	6	0.090
	32	6	0.080
$h_n = 1 \cdot 10^{-5}$	8	5	0.063
	16	4	0.031
	32	4	0.021
$AR \sim 10^4$	8	5	0.063
	16	4	0.031
	32	4	0.021

	N_l	GS_{loc}		TRI_{loc}	
$AR \sim 1$	64	4	0.03	6	0.09
	128	4	0.03	6	0.09
$AR \sim 10^2$	64	11	0.27	7	0.13
	128	19	0.47	7	0.13
$AR \sim 10^4$	64	46	0.74	11	0.25
	128	95	0.86	11	0.25
$AR \sim 10^1$	64	75	0.83	5	0.04
	128	79	0.83	5	0.04
$AR \sim 10^3$	64	100	0.87	5	0.04
	128	171	0.92	5	0.05
$AR \sim 10^5$	64	205	0.93	5	0.04
	128	447	0.97	5	0.05

Globales und lokales Konvergenzverhalten von SCARC in
Abhängigkeit von lokalen Verfeinerungsstrategien

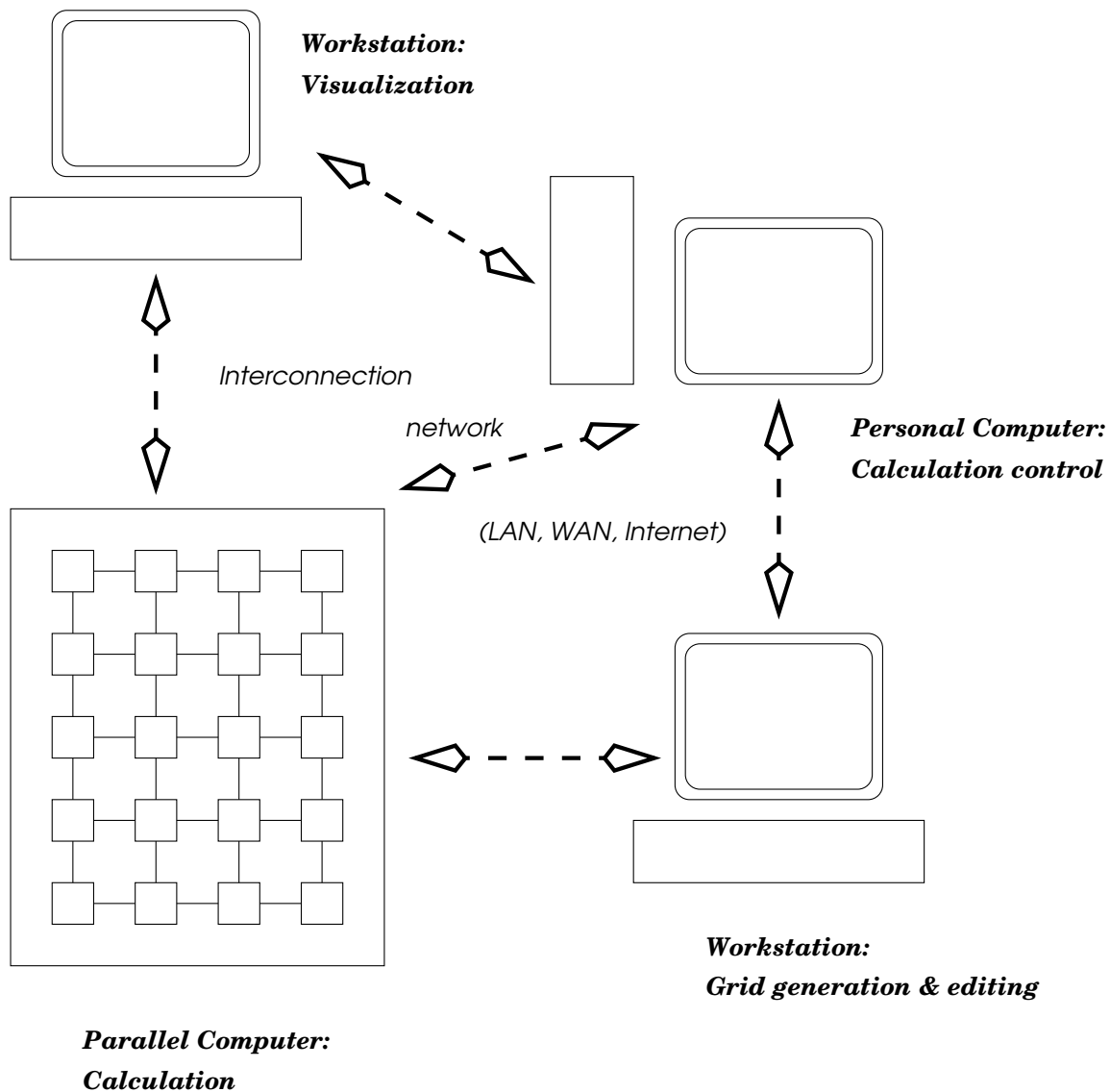
Bemerkung: MFLOP–Raten für lokales Mehrgitter/MV

DeViSoR

(**D**esign & **V**isualization **S**oftware **R**esource)

Ziel: Realisierung des Pre- und Postprocessings, einheitliche Oberfläche für FEM-Packages, offenes Konzept

Implementierung: Java



Preprocessing: DeVISOGrid

- Erzeugen und Verwalten von Randbeschreibungen/Gitterstrukturen
- Automatische Generierung und Modifizierung von Grobgittern
- Realisierung von Importfunktionen für externe Programme

Processing: DeVISOControl

- Steuerung der Applikation
- Steuerung des Preprocessings, Online-Änderung der Konfiguration
- Steuerung des Postprocessings, Online-Visualisierung

Postprocessing: DeVISOVision

- Gittervisualisierung
- Ergebnisvisualisierung mittels Techniken wie Shading, Isolinien, Partikel-Tracing
- Animationsmöglichkeiten für nichtstationäre Probleme